

京大工 正員 井上賛輝 ○学生員 森澤真輔

原子力発電を実用化し、核燃料再処理が行われるほどになると、強放射性で硝酸濃度の高い再処理廃液が大量に蓄積する。現在この再処理廃液は地下タンクに半永久的に貯留するところ考え方でいいが、これが事故などで地中に漏洩すると保健物理上重大な影響が周辺に現われると考えられる。そこで本研究では再処理廃液が地中に入りの場合の挙動と、特に保健物理上重要なストロンチウムに注目して実験的に調べた。同時にこの種の放射性特種の地下移動に関する従来の研究が現象をイオン交換体内における二成分間イオン交換と考えておるのに対し、ここでは多成分間のイオン交換であると考えて Frontal analysis<sup>(1)</sup>の手法に依って解析した。

Sillén の示した Frontal analysis は、イオン交換剤中を通過する溶液およびイオン交換剤中の放射性特種の濃度変化曲線(溶出曲線)を図解的に求める手法である。この手法は、イオン交換剤と溶液との間に交換平衡が成立しており、各特種の拡散が無視できる場合に成立する。Sillén で問題とする系を無限長の管の中に住む全く同じイオン交換剤が一様に充填されてる模型を表し、この系を記述するのに二つの変数を用いた。一つはイオン交換層を通過する溶液の量を表す  $V$  で、他の一つはイオン交換剤の量を表す  $X$  である。この二変数を用いて管内の物質収支式を表すと、

$$\left(\frac{\partial C_i}{\partial X}\right)_V + \left(\frac{\partial \phi_i}{\partial V}\right)_X = 0 \quad (1)$$

となる。ここで  $C_i$ ,  $\phi_i$  は各々第  $i$  特種の物質の溶液およびイオン交換剤内の濃度を表す。またイオン交換剤が最初( $V=0$ )均質でかつ流入してくる溶液の組成が管の入口( $X=0$ )で常に一定の場合には、 $C_i$ ,  $\phi_i$  は  $C_0 V / q_{in} x = \varphi$  なる変数のかけの関数となる。このとき(1)式は変形されて、

$$\frac{dC_i}{dV} \left( \frac{C_0}{q_{in}} \cdot \frac{d\phi_i}{dC_i} - \varphi \right) = 0 \quad (2)$$

この場合

$$C_i = \text{Const.} \quad \text{または} \quad \varphi = (C_0/q_{in}) \cdot (d\phi_i/dC_i) \quad (3)$$

(3)の第一式は  $X$  または  $V$  のある値において  $C_i$  が不連続に変化することを示している。この位置を表す  $\varphi$  の値は(4)式で定まる。また(3)の第二式は(5)式で考えられる二つの  $\varphi$  の値の間で成立する。

$$\varphi_s = \Delta \phi_i / \Delta C_i \quad (4)$$

$$\varphi_1 = \frac{C_0}{q_{in}} \cdot \left( \frac{d\phi_i}{dC_i} \right)_{C_i=0} \quad \varphi_2 = \frac{C_0}{q_{in}} \cdot \left( \frac{d\phi_i}{dC_i} \right)_{C_i=C_0} \quad (5)$$

(5)式の  $\varphi_1$ ,  $\varphi_2$  は各々交換平衡曲線の原点および  $C_i=C_0$ ,  $\phi_i=\phi_{in}$  处における接線の勾配を示す。

放射性ストロンチウムの地中での挙動を調べるために次の実験を行った。まず予備実験として、内径 2.5 [cm] のカラムに  $\text{Ca}$  型の強酸性陽イオン交換樹脂(amberlite IR 120B)を 55.0 [g] 充填し、 $^{89}\text{Sr}$  を流入して 0.85M-NH<sub>4</sub>NO<sub>3</sub> 溶液を廃液として連続的に通水した。通水速度は 0.36 [l/min], amberlite の交換容量は 340 [ $\text{meq/g}$ ], 交換平衡定数は  $K_H = 3.45$  である。カラム流出液中の  $\text{Ca}^{++}$  イオン,  $\text{H}^+$  イオン

および $^{88}\text{Sr}$ の濃度を測定し通水量に対してプロットしたものと図-1に示す。図は、まず標記流中の硝酸ガイオン交換層を通して、 $\text{H}^+$ イオンが遅れて移動するところを示してある。

試験内径10[cm]、高さ100[cm]のカラムに砂を9300[ml]充填し、 $^{88}\text{Sr}$ を混入した0.085N-HNO<sub>3</sub>溶液を連続的に通水した。試料砂としては京都大学工学部構内のものと使用した。この砂は密度2.50[gr/cm<sup>3</sup>]

有効径0.32[mm]、交換容量13.5[meq/g]、交換平衡定数は $K_H = 53 \times 10^{-2}$ である。また充填した砂層の空隙率は40%、標記流中の $\text{Ca}^{2+}$ イオン、 $\text{H}^+$ イオン、および $^{88}\text{Sr}$ の濃度を測定して得た溶出曲線と、frontal analysisによる理論曲線とを図-1に示す。同図は硝酸によらず多量の $\text{Ca}^{2+}$ イオンが溶出されることを示すとともに、まず標記流中の $\text{H}^+$ が地中を移動し、その後で硝酸が移動することを示している。これは予備実験の結果とは逆の現象であり、 $\text{H}^+$ は価1イオンより価1イオンより強くイオン交換されるという一般概念とも反する現象である。しかし実測した交換平衡曲線(図-3)が示す様に、試料砂によっては一価の $\text{H}^+$ イオンが二価の $\text{Ca}^{2+}$ イオンより強くイオン交換されるとの現象が起り得ることが解る。

以上の実験から得られる結論および問題点を列挙すると次の様になる。

- (1) Frontal analysisによる理論溶出曲線は不連續な曲線となる場合があるが、平均溶出量の位置は実測値とよく一致しており、全体的にみて実測値の傾向をよく表す。
- (2) 本実験では、砂と特種との間のイオン交換については考査する、たゞ、この点に関する基礎的研究が必要である。また廃液中の高濃度の硝酸と砂との相互作用についても調べる必要がある。
- (3) Frontal analysisの手法には改良すべき点が多く残されている。たとえば底敷墊、自然減衰項とも考慮して精度を高める必要がある。

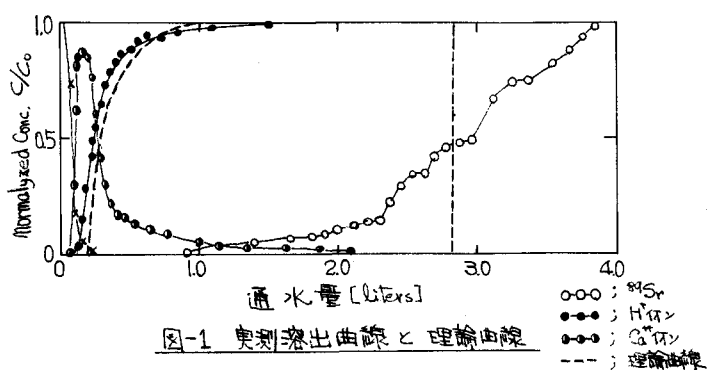


図-1 実測溶出曲線と理論曲線

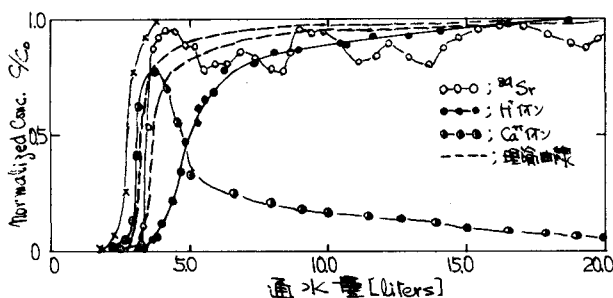


図-2 実測溶出曲線と理論曲線

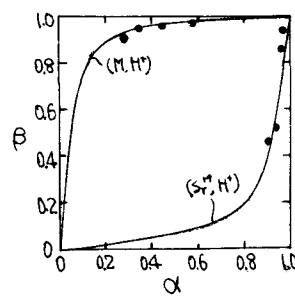


図-3 実測交換平衡曲線